

冷媒의 燒結金屬管 表面에서의 沸騰 热傳達에 관한 實驗的 研究

Experimental Study on Boiling Heat Transfer of the Tubes with Sintered Metal Surface for Freon-11

朴贊俊* · 文秉秀** · 徐正閏***
C.J.Park, B.S.Mun, J.Y.Seo

ABSTRACT

The purpose of this paper is to investigate the potential ability of sintered metal tube to promote heat transfer.

In the experiment for Freon-11, the boiling heat transfer on the sintered metal tube of bronze element is investigated and compared with that of the bronze tube(bare tube) atmospheric pressure.

The experimental results are obtained as follows:

1) For sintered metal tubes of bronze element with particle diameters which ranges from 79(μm) to 461(μm) and bare tube, boiling characteristic curves are expressed as:

a) Sintered metal tube

$$q \propto \Delta T^{(1.055 \sim 1.373)}$$

b) Bare tube

$$q \propto \Delta T^{3.096}$$

2) Compared with that of the bare tube at low temperature difference(ΔT_{sat}), boiling heat transfer coefficients of the sintered bronze tube are relatively high.

3) There is tendency that curves of boiling heat transfer coefficients of sintered bronze tube and bare tube approach each other at rather high temperature difference. It is due to the increasing rate of the former heat transfer coefficient along with temperature difference is smaller than that of the latter.

4) Referring to particle diameter, optimum condition, i.e., maximum heat transfer coefficient is found to be at approximately 2 mm thickness of sintered layer with $D_p = 150(\mu\text{m})$.

1. 緒論

* 仁荷大工大 大學院

** 正會員, 忠北大

*** 正會員, 仁荷大工大

沸騰에 依한 热傳達率은 單相流로서는 얻기

어려운 热傳達率을 갖기 때문에 日常生活에서 부터 蒸氣動力, 原子力產業等에 이르기까지 광범위하게 沸騰機構에 依한 傳達方法을 利用하고 있다.

특히 原子爐에서는 高熱流束下의 安全運轉을前提로 한 热設計와 關聯하여 有機媒體를 冷媒로서 使用하여 높은 热傳達에 依한 傳熱 및 安全運轉에 效果를 본 以來 近年에 와서 Freon系 冷媒는 化學工業의 process, 送電線 및 電動機의 冷却處理와 heat pump cycle이나 低溫熱源을 有效하게 使用하는 動力 cycle의 作動流體로서의 沸騰傳熱特性에 관한 研究가 繼續되고 있다. 그러나 沸騰現象은 核沸騰, burn-out, 膜沸騰等 多樣한 樣相을 나타내고 있을 뿐 아니라, 氣-液 物性值와 壓力變化, 傳熱面의 形狀 및 表面粗度等 褊은 因子들이 影響을 미치기 때문에 理論의 解析이 어렵다. 따라서一般的인 沸騰特性과 沸騰現象에 關하여 지금 까지는 實驗에 依하여 體係化하기 위한 研究가 繼續되고 있는 實情이다.

특히 粒度에 관한 研究는 일찌기 Bankoff⁽¹⁾, Kurihara⁽²⁾, Berenson⁽³⁾ 등에 의해서 행해졌고 Berenson은 Pentane을 써서 銅面을 傳熱面으로 하는 粒度에 대한 實驗結果에서 表面이 거칠수록 沸騰開始點과 沸騰曲線 自體는 過熱度가 낮은 쪽으로 移動하며 氣泡가 發生하기 쉽게 되므로 同一溫度差가 多量의 热量을 處理할 수 있다고 하였다. 또한 Freon에 관한 沸騰熱傳達의 研究는 Danilova⁽⁴⁾, Seki⁽⁵⁾, Nishikawa⁽⁶⁾ 등에 의해서 행해졌는데 Danilova는 各種 Freon 液을 使用한 水平圓筒에 의한 實驗을 하였으나 適用範圍에 따라 沸騰熱傳達 特性的 機構에 대한 충분한 說明이 어려운 형편이다. Nishikawa 등은 Freon系 冷媒의 沸騰에서 表面條件의 영향을 나타내는데 起泡度로 表示하였으며, 아울러 腐蝕에 의한 表面條件의 變化가 생길 可能성이 크며 使用傳熱面의 材質 및 冷媒의 溫度條件에 따라 起泡度의 適用이 低温側과 高溫側에서 다르다고 하였다.

本研究는 Freon-11에 대한 核沸騰領域에서의 表面粗度와 傳熱效果를 調查하기 위해 青銅粒子는 球形이며 粒徑이 79 [μm], 108 [μm] 150 [μm], 339 [μm], 461 [μm]인 5種類의 青銅系 烧結金屬管에 대한 核沸騰 热傳達에 관한 實驗을 大氣壓에서 行하였다. 한편 이 烧結金屬管의 傳熱效果의 特徵을 定性 및 定量的으로 나타내기 위하여 # 80 sand-paper로 表面을 연마한 青銅管(bare tube)에 대해서도 實驗하여 沸騰特性曲線을 구하고 青銅系 烧結金屬管과 青銅管의 沸騰熱傳達率의 特性을 比較하고 同時に 烧結金屬管의 表面構成粒子의 크기의 影響을 아울러 調査 檢討하였다.

Nomenclature

- A_s : Area of Heating Surface, m^2
- D : Diameter, μm
- D_p : Particle Diameter of the Sintered Bronze Metal, μm
- Q : Transferred Heat, kcal/h
- q : Heat Flux, kcal/ m^2h
- T : Temperature, $^\circ\text{C}$
- T_s : Temperature of Heating Surface, $^\circ\text{C}$
- T_{sat} : Saturation Temperature of Freon-11 at Atmospheric Pressure, $^\circ\text{C}$
- ΔT_{sat} : Temperature Difference, ($T_s - T_{sat}$), $^\circ\text{C}$
- α : Coefficient of Heat Transfer, kcal/ $\text{m}^2\text{h}^\circ\text{C}$
- α_s : Coefficient of Heat Transfer from Sintered Bronze Metal Tube, kcal/ $\text{m}^2\text{h}^\circ\text{C}$
- α_B : Coefficient of Heat Transfer from Bronze Tube, kcal/ $\text{m}^2\text{h}^\circ\text{C}$
- β : α_s / α_B
- m, m' : Constant
- n, n' : Exponent
- NDF : Nominal Degree of Filtration

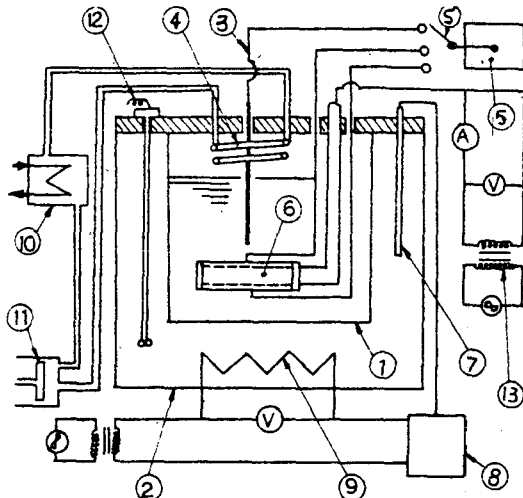
2. 實驗裝置 및 實驗方法

實驗裝置 概略圖는 Fig. 2-1과 같으며 實驗槽①은 유리容器로, 約 $26 \times 12 \times 22$ cm의 크기이며 그속에 傳熱管⑥을 水平으로 附着했다. Condenser ④는 沸騰으로 蒸發한 Freon-11 을 凝縮시켜서 液面의 變化가 없도록 하였으며, 辅助容器內의 물은 辅助加熱器로 加熱하고 搅拌器로 물의 温度分布를 均一하게 하며 設定 温度에 대해 $\pm 0.1^\circ\text{C}$ 의 温度範圍로 維持될 수 있도록 sensor ⑦과 Thermostat ⑧을 設置하여 實驗槽①내의 Freon-11의 温度를 饱和溫度로 制御시켰다.

Freon-11의 温度를 測定하기 위해 移動熱傳對③인 Cromel-Alumel sheathed thermocouple $\phi 1\text{ mm}$ 로 傳熱管⑥의 上方向 約 2 cm의 높이에서 温度를 測定했다. 實驗用 傳熱管의 詳細圖는 Fig. 2-2에 表示했다.

L型 Heater ⑪의 加熱部分은 ⑫이며 容量 400 W, 길이 100 mm, $\phi 14\text{ mm}$ 이다. 烧結金屬管 ⑫의 外面이 傳熱面이며 外徑 $\phi 20\text{ mm}$, 길이 100 mm이다. 또 中央部에는 Heater部分인 ⑪가 있으며 烧結金屬管 ⑫와의 間隙 1 mm 사이에는 加熱部分 ⑪에 Aluminum Foil로 감고 그위에 얇게 Araldite(Epoxy接着劑, Swiss 제)을 塗布하여 烧結金屬管 ⑫에 插入시켜서 Freon-11의 流入을 막았다. 이때 Araldite가 烧結金屬層에 浸透되는 것을 막기 위해 粘土로 大部分의 烧結金屬層을 備웠으며 實驗할 때는 蒸溜水와 부드러운 솔을 使用하여 充分히 씻었으나 烧結金屬層의 두께에 若干의 變化는 있는 것으로 생각된다. 또한 傳熱面兩端에 베이크라이트板으로製作된 plug를 附着시켜 側面으로의 Freon-11의 流入을 막았다. 表面溫度는 上面 및 下面에 直徑 0.5 mm, 깊이 1 mm의 Drill作業後, C-A 热傳對($\phi 50\mu\text{m}$)을 Spot arc welding에 의해 끌단을 接着시킨 것(約 $\phi 250\mu\text{m}$ 의 방울)을 試片 Hole에 넣고, 試片과의 接觸을 最大가 되

게 하여 外部의 影響을 줄이기 위해 Amalgam으로 充填시켜 固定시킨 후 Thermometer ⑤를 利用해 測定하였다.



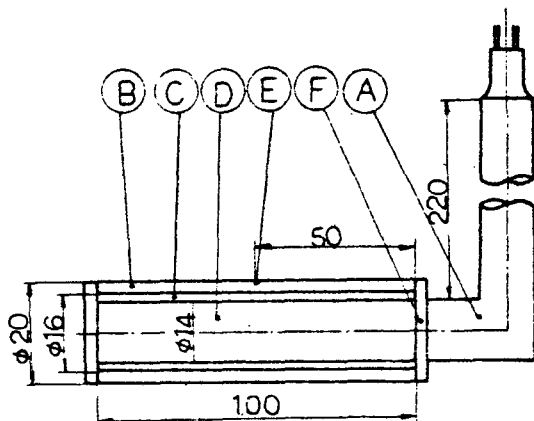
- | | |
|---------------------|------------------|
| 1. Inner Vessel | 2. Outer Vessel |
| 3. Thermo-couple | 4. Condenser |
| 5. Thermometer | 6. Specimen |
| 7. Sensor | 8. Thermostat |
| 9. Auxiliary Heater | 10. Refrigerator |
| 11. Pump | 12. Agitator |
| 13. Volt Slider. | |

Fig. 2-1 Sketch of Experimental Apparatus.

이때 電壓을 5 V 씩 增加시키면서 青銅系 烧結金屬管의 公稱 濾過度(Normal Degree of Filtration) #2, #5, #10, #40, #70에 對해 實驗했을 때 上下 傳熱面의 温度差는 낮은 热流束 狀態에서는 約 0.5°C 이내였으나 热流束이 커짐에 따라 $q = 3,608 \times 10^4 (\text{kcal}/\text{m}^2\text{h})$ 일 때 約 3°C 가 되었다. 따라서 本 實驗에서는 上下面 温度差의 平均값을 擇하여 實驗結果를 整理했다.

本 實驗에서 温度測定 時間간격은豫備實驗에서 5 分 經過後와 30 分 經過後의 温度差는 낮은 热流束에서는 나타나지 않았으며 높은 热流束에서 約 $0.1^\circ\text{C} \sim 0.2^\circ\text{C}$ 였으므로 10 分간격을 택했다.

實驗에 使用된 青銅系 烧結金屬管의 材質은 Cu : 90 %, Sn : 10 %로서 青銅과 같으며, 青銅



A. L-Heater B. Specimen
C. Aluminum Foil D. Heater Part
E. Thermo-Couple Hole F. Plug

Fig. 2-2 Structure of Heating Surface.

管(KS D 6002, BC 1)은 # 80 Sand-paper로
表面研磨하였다.

Table 2-1은 青銅系 燒結金屬管의 詳細한
資料이다.

Table 2-1 Sintered metals used for
experiment.

NDF	Particle dia, (μm)	Interstices dia, (μm)	Thickness (mm)
# 2	79	35	2
# 5	108	39	2
# 10	150	65	2
# 40	339	140	2
# 70	461	180	2

3. 實驗結果 整理 및 考察

實驗에서 얻은 結果에 따라 式(3-1)과 式(3-2)에 의해 热流束과 热傳達率을 구하였다.

$$q = \frac{1}{A_s} \times 0.24 \times I \times V (\text{cal/cm}^2 \cdot \text{s}) \quad (3-1)$$

$$\alpha = Q / A_s (T_s - T_{sat}) (\text{cal/cm}^2 \cdot \text{s} \cdot ^\circ\text{C}) \quad (3-2)$$

다만 A_s : 傳熱面의 表面積 (cm^2)

T_s : 傳熱面의 表面溫度 ($^\circ\text{C}$)

T_{sat} : Freon-11의 飽和溫度 ($^\circ\text{C}$)

또한 热流束과 表面過熱度의 關係式

$$q = m \cdot \Delta T_{sat}^n \quad (3-3)$$

熱傳達과 热流束의 關係式

$$\alpha = m' \cdot q^n \quad (3-4)$$

에서 常數 m, m' 와 指數 n, n' 를 Method of Least Squares에 의해 구하면 Table 3-1과 같다.

Table 3-1 Values of Constant and Index

Spec.	$m \times 10^4$	n	$m' \times 10^3$	n'
$D_p = 79 \mu\text{m}$	0.186	1.187	0.033	0.448
$D_p = 108 \mu\text{m}$	0.490	1.055	0.339	0.270
$D_p = 150 \mu\text{m}$	1.132	1.162	3.463	0.127
$D_p = 339 \mu\text{m}$	0.555	1.284	1.181	0.187
$D_p = 461 \mu\text{m}$	0.327	1.373	0.171	0.345
Bare Tube	0.002	3.096	0.005	0.621

Fig. 3-1과 Fig. 3-2에서 알 수 있는 바와 같이 烧結金屬의 粒子粒徑이 增加할수록 沸騰曲線이 過熱度 ΔT_{sat} 가 작은쪽으로 移動하며 m 값이 增加하나, $D_p = 150 (\mu\text{m})$ 以上이 되면 다시 m 값이 減少한다.

또한 Fig. 3-3과 Fig. 3-4에서 보는바와 같이一般的으로 烧結金屬管은 青銅管보다는 낮은 热流束 狀態에서 높은 热傳達率을 가지나 热流束에 대한 그 增加率은 青銅管에 비해 작다.

Fig. 3-5, Fig. 3-6은 5種類의 烧結金屬管과 青銅管의 過熱度 ΔT_{sat} 와 热流束 q 및 热傳達率 α 와 热流束 q 의 關係를 綜合한 것이다.

青銅管에 비해 烧結金屬管의 热傳達率의 效果를 보기위해 같은 過熱度 ΔT_{sat} 에서 青銅管과 各 烧結金屬管의 热傳達率 값의 比인 β 값을 式(3-5)에 의해 구하여 Fig. 3-7과 Fig. 3-8에 表示했다.

$$\beta = \alpha_s / \alpha_B \quad (3-5)$$

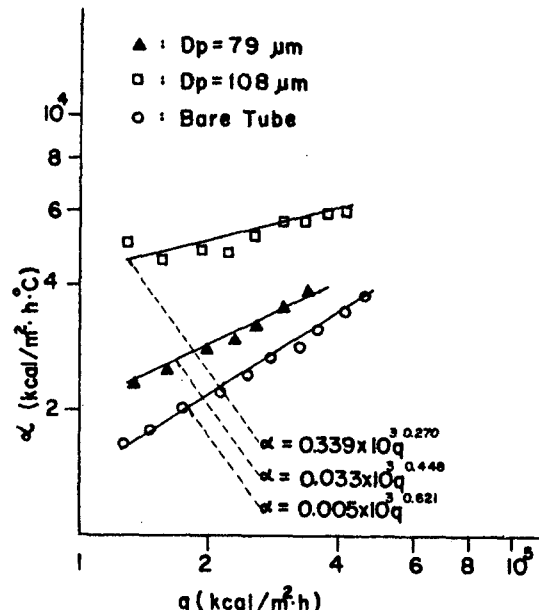
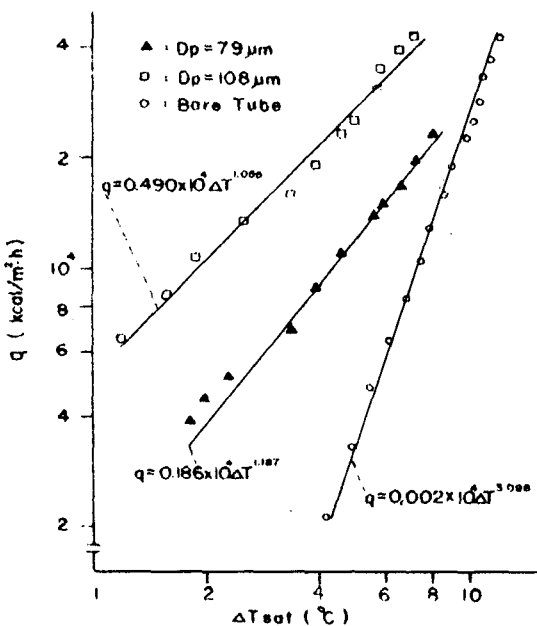
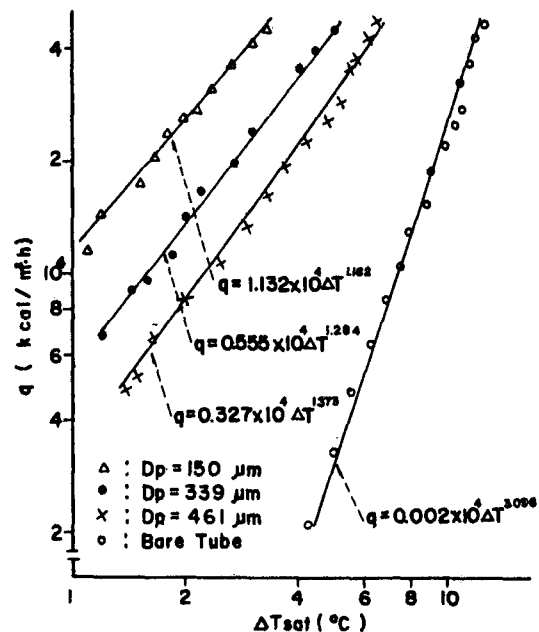
다만 α_s : 球狀青銅 烧結金屬管에서의 热傳達率 ($\text{kcal/m}^2 \text{ h}^\circ\text{C}$)

α_B : α_s 와 同一한 過熱度에 該當하는

青銅管의 热傳達率 [kcal/m² h °C]

이때 $\alpha_B = 64$ [kcal/m² h °C] 즉 過熱度 ΔT_{sat} = 1 °C 일 때 β 의 값은 最大 約 103이며 過熱度 ΔT_{sat} 가 增加함에 따라 β 的 값은 작아지는 傾向을 나타내고 있다.

또한 過熱度 $\Delta T_{sat} = 2$ °C 일 때 各 粒子粒徑에 대한 热傳達率의 關係를 나타내는 Fig. 3-9에서 볼 수 있는 것과 같이 本實驗 條件에서 是 热傳達率이 最大가 되는 最適粒子의 粒徑이 $D_p = 150 \mu\text{m}$ 라는 것을 알 수 있다. 이와 같은 最適條件은 球形粒子로 構成될 때의 傳熱面의 增加와 燒結層內에서의 氣泡舉動과 관련된다고 볼 수 있다. 즉 傳熱面積의 增加라는 面에서는 粒徑이 작은 燒結層이 좋으나 粒徑이 크기에 따라 氣泡形成에 관여하는 凹部의 型狀이 달라지며 또 燒結層內의 热抵抗 등이 变하므로 热傳達率을 最大로 하는 最適粒子의 粒徑이 存在한다고 생각된다. 그러므로 之後 燒結金屬管의 粒子粒徑과 燒結層의 두께 變化에 따른 研究가 要望된다.



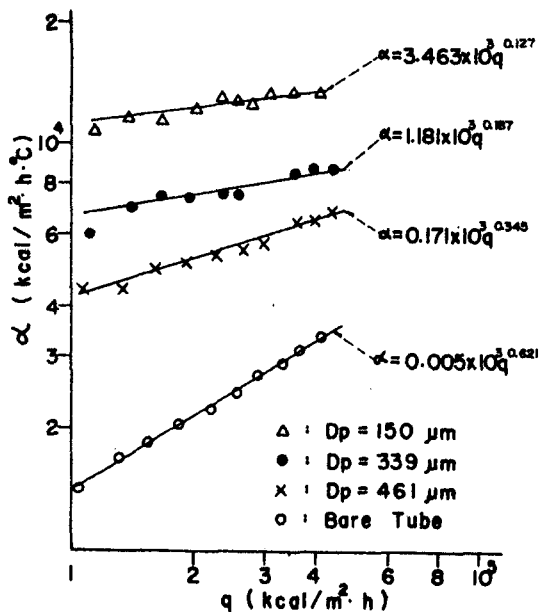


Fig. 3-4 Heat Transfer Coefficient as a Function of Heat Flux

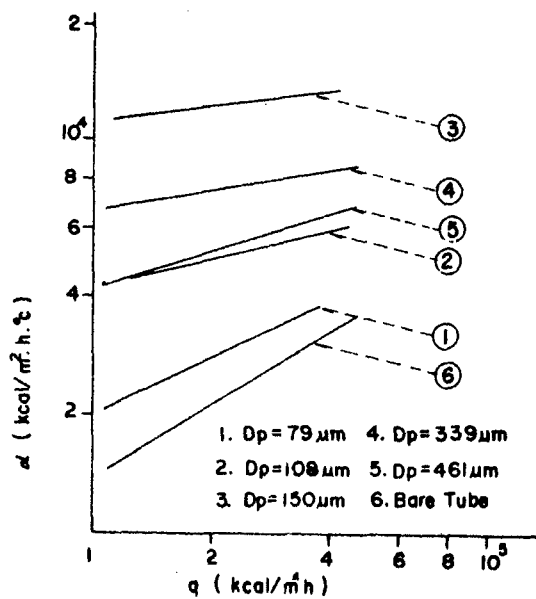


Fig. 3-6 Heat Transfer Coefficient as a Function of Heat Flux.

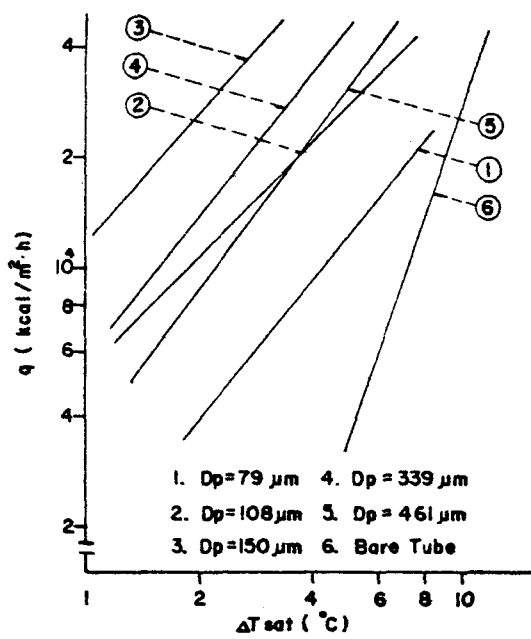


Fig. 3-5 Heat Flux as a Function of Temperature

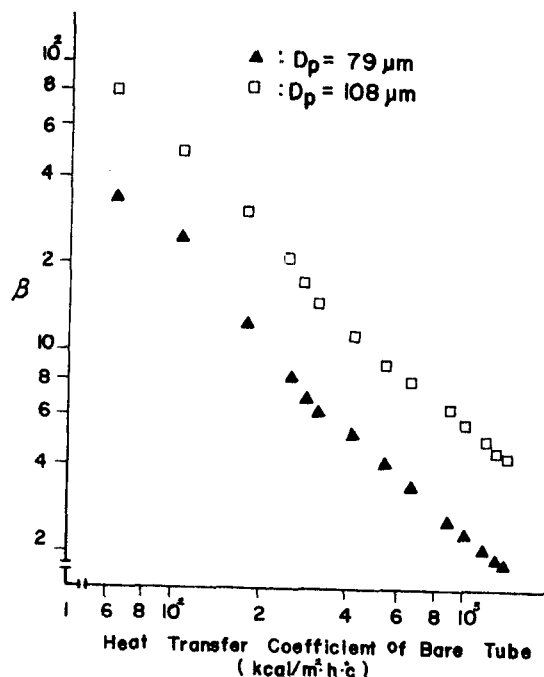


Fig. 3-7 Effect of Sintered Metal Tube on Heat Transfer Coefficient.

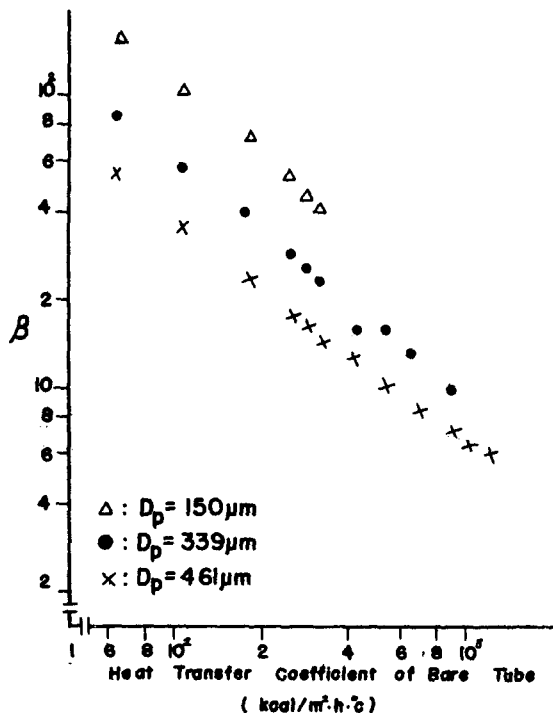


Fig. 3-8 Effect of Sintered Metal Tube on Heat Transfer Coefficient.

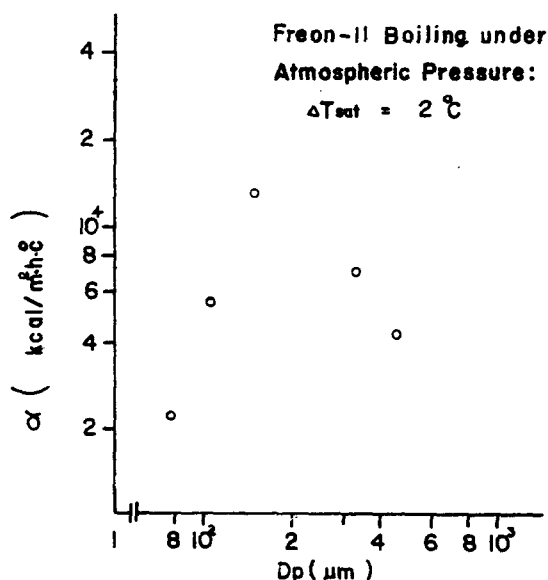


Fig. 3-9 Influence of the Various Diameter of Original Particles before Clogging in Sintered Porous Copper-Tin Alloy on Heat Transfer Coefficient.

4. 結論

大氣壓下에서 Freon-11을 使用하여 青銅粒子의 粒徑이 $D_p = 79 (\mu\text{m})$, $D_p = 108 (\mu\text{m})$, $D_p = 150 (\mu\text{m})$, $D_p = 339 (\mu\text{m})$, $D_p = 461 (\mu\text{m})$ 인 5種類의 燒結金屬管과 #80 sand-paper로 表面研磨한 青銅管에 대해 $q < 5 \times 10^4 [\text{kcal}/\text{m}^2 \cdot \text{h}]$ 的 範圍에서 實驗을 하여 다음結果를 얻었다.

(1) $q = m \cdot \Delta T_{\text{sat}}^n$ 의 關係式에서 青銅管은 $m = 0.02 \times 10^4$, $n = 3,096$ 이고 燒結金屬管은 $m = (0.186 \times 10^4 \sim 1.132 \times 10^4)$, $n = (1.055 \sim 1.373)$ 이며, 또한 $\alpha = m' \cdot q^n$ 에서도 青銅管은 $m' = 0.005 \times 10^3$, $n' = 0.621$ 이고 燒結金屬管은 $m' = (0.033 \times 10^3 \sim 3.463 \times 10^3)$, $n' = (0.217 \sim 0.448)$ 이다. 이때 燒結金屬管에서 m, m' 的 値은 粒徑이 增加함에 따라 增加하지만 $D_p = 150 (\mu\text{m})$ 에서 最大가 되고 다시 減少한다.

(2) 傳熱面을 多孔質 조립구조로 만듬으로서 낮은 過熱度 ΔT_{sat} 에서 热傳達率 α 的 向上을 기대할 수 있다. 즉 過熱度 $\Delta T_{\text{sat}} = 1^\circ\text{C}$ 일 때 β 的 最大值는 約 103이다.

(3) 燒結金屬管의 热傳達率은 過熱度 (ΔT_{sat}) 增加에 따라 增加하지만 β 的 値은 작아지는 傾向이 있다.

(4) 傳熱面을 構成하는 粒徑에 따라 最適條件이 存在한다는 것을 알 수 있으며 本 實驗에서 燒結層두께가 約 2 mm 일 때 $D_p = 150 (\mu\text{m})$ 에서 最大熱傳達率을 갖는다.

附記

本 研究는 1981 年度 仁荷·現代그룹 研究助費에 의한 것이며 당국에 깊은 謝意를 表합니다.

REFERENCE

- Bankoff, S. G., "Entrapment of Gas

- in the Spreading of a Liquid over a Rough Surface," AIChE Journal, Vol. 4, No. 1, 1958, pp. 24 - 26.
2. Kurihara, M. H., J. E. Myers., "Effects of Superheat and Surface Roughness on Boiling Coefficients," AIChE Journal, Vol. 6, No. 1, 1960, pp. 83-91.
3. P. J. Berenson., "Experiments on Pool Boiling Heat Transfer," International Journal of Heat and Mass Transfer, Vol. 5, 1962, p. 985.
4. G. N. Danilova., A. V. Kupriyanova., "Boiling Heat Transfer to Freons C 318 and 21," Heat Transfer -Soviet Research, Vol. 2, No. 2, March, 1970, pp. 79-83.
5. 關信弘, 福迫 尚一郎, 鳥越邦和, "フロンR 11 の 沸騰熱傳達挙動," 冷凍-第50卷 第569號, pp. 165~174.
6. 西川兼康, 藤田恭伸, 大田治彦, 日高澄具, "核沸騰における フロン系 冷媒の 热傳達係数について," 冷凍-第53卷 第607號, pp. 389~401.